

Estación sísmica

del Observatorio Fabra, de la Real Academia de Ciencias y Artes

$\varphi = 41^\circ 25' 6''$ N.

$\lambda = 8^m 29^s, 7 = 2^\circ 8'$ E. Gr.

Altitud = 405 m.

Subsuelo: Pizarras paleozoicas.

	V	T_0	$\epsilon : 1$	$\frac{r}{T_0^2}$	Masa, Kg.
Péndulos Mainka:	K_N	50	9 ^s ,7	3,5	141,2
	K_E	55	10 ^s ,8	3,7	144,1
Microsismógrafo Vicentini:	K_Z	125	0 ^s ,9		

Fecha	Fase	Tiempo medio de Greenwich			Período	Amplitud			Δ Km.	Observaciones
		h	m	s		A_N μ	A_E μ	A_Z μ		
1 enero (n.º 1)		20	50	aprox.	—	—	—		Temblor de grado II-III. M. Sentido en Caldetas (Barcelona) (Hno Estanislao).	
13 enero (n.º 2)	e P	0	15	36	{ 8 3	—	—	—	9280	
	i S	0	26	00	11	25	105	—		
	PS	0	26	51	16	135	195	—		
	?	0	27	49	8	120	50	—		
	L_1	0	38	12	27	—	535	—		
	L_2	0	42	31	52	—	—	—		
	M	0	48	26	34	625	—	—		
	F	2	53	—	—	—	—	—		
17 enero (n.º 3)	e L	12	13	8	30	—	—	—		
	M_E	12	24	14	19	—	—	—		
	M_N	12	25	13	19	—	—	—		
	F	12	45	—	—	—	—	—		
21 enero (n.º 4)		4	aprox.		—	—	—	—		Temblor de grado III-IV. M. Sentido en Alella (Barcelona) (Sr. Colomer).
22 enero (n.º 5)	e	15	7	11	—	—	—	—		
	e L	15	9	00	18	—	—	—		
	F	15	15	—	—	—	—	—		
24 enero (n.º 6)	e	20	48	23	—	—	—	—		
	e S	20	59	6	—	—	—	—		
	e L	21	9	23	21	—	—	—		
	M_N	21	21	25	—	—	—	—		
	M_E	21	23	2	19	—	—	—		
	F	21	54	—	—	—	—	—		
1 febrero (n.º 7)	P	17	23	18	4	—	—	—	5450	
	i S	17	30	25	12	135	60	—		
	?	17	31	46	9	—	—	—		
	R S	17	34	7	8	—	—	—		
	L	17	34	40	26	—	—	—		
	M_N	17	40	32	13	—	—	—		
	M_E	17	41	21	12	—	—	—		
	F	18	14	—	—	—	—	—		
2 febrero (n.º 8)	P	0	9	1	3	—	—	—	5070	
	e S	0	15	47	7	—	—	—		
	e L	0	23	36	48	—	—	—		
	M_E	0	26	26	28	—	—	—		
	M_N	0	31	36	12	—	—	—		
	F	2	11	—	—	—	—	—		

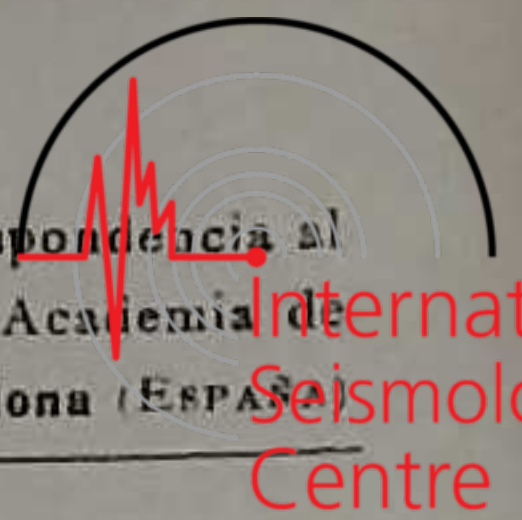
133



Barcelona (Observatorio Fabra)

Fecha	Fase	Tiempo medio de Greenwich			Período	Amplitud			Δ	Observaciones
		h.	m.	s.		A _N	A _E	A _Z		
					s.	μ	μ	μ	Km.	
3 febrero (n.º 9)	i P	0	34	21	—	—	—	—	32	Sentido de grado V M. en Tiana (Barcelona).
	i S	0	34	25	—	—	—	—		
	F	0	36	—	—	—	—	—		
5 febrero (n.º 10)	P	20	36	49	—	—	—	—	37	
	S	20	36	53	—	—	—	—		
	F	20	37	—	—	—	—	—		
10 febrero (n.º 11)	e L	16	19	56	18	—	—	—		
	M _E	16	27	7	19	—	—	—		
	M _N	16	28	1	18	—	—	—		
	F	16	47	—	—	—	—	—		
18 febrero (n.º 12)	P	19	00	17	2	—	—	—	380	
	?	19	00	29	3	—	—	—		
	S	19	00	59	2	—	—	—		
	L	19	1	1	12	—	—	—		
	M	19	1	28	8	30	—	—		
	F	19	11	—	—	—	—	—		
22 febrero (n.º 13)	i P	20	50	41	7	—	—	—	5380	
	P R	20	51	11	4	—	—	—		
	i S	20	57	44	9	30	60	—		
	e L	21	00	38	37	—	—	—		
	M _{E1}	21	5	44	31	—	460	—		
	M _N	21	6	2	12	95	—	—		
	M _{E2}	21	8	7	20	—	225	—		
	F	22	22	—	—	—	—	—		
26 febrero (n.º 14)	P	9	13	17	3	—	—	—	9180	
	S	9	23	37	8	—	—	—		
	e L	9	28	45	19	—	—	—		
	M	9	54	30	19	—	—	—		
	F	10	19	—	—	—	—	—		
6 marzo (n.º 15)		23	45 aprox.		—	—	—	—	9530	Temblor de grado II M. Sentido en Teyá (Barcelona) (Dr. Barrera).
7 marzo (n.º 16)	P	1	47	32	4	—	—	—		
	S	1	58	9	8	—	—	—		
	L	2	8	25	18	—	—	—		
	M ₁	2	23	40	25	—	285	—		
	M ₂	2	32	13	16	—	140	—		
	F	3	41	—	—	—	—	—		
9 marzo (n.º 17)	e	12	24	21	22	—	—	—		
	M	12	29	17	22	—	—	—		
	F	12	47	—	—	—	—	—		
10 abril (n.º 18)	e P	5	45	58	—	—	—	—		
	e L	5	47	42	6	—	—	—		
	M	5	48	54	5	—	—	—		
	F	5	51	—	—	—	—	—		
20 abril (n.º 19)	e P	1	12	53	—	—	—	—	710	
	e S	1	14	11	—	—	—	—		
	F	1	21	—	—	—	—	—		

134



Estación sísmica

del Observatorio Fabra, de la Real Academia de Ciencias y Artes

$\varphi = 41^\circ 25' 6''$ N.

$\lambda = 8^m 29^s, 7 = 2^\circ 8'$ E. Gr.

Altitud = 405 m.

Subsuelo: Pizarras paleozoicas.

Péndulos
Mainka:
Microsismógrafo
Vicentini:

	V	T_0	$\epsilon : 1$	$\frac{r}{T_0^2}$	Masa, Kg.
K_N	48	9 ^s ,8	3,6	0,01	141,2
K_E	55	10 ^s ,9	3,8	0,01	144,1
K_Z	125	0 ^s ,9			

Fecha	Fase	Tiempo medio de Greenwich			Período	Amplitud			Δ	Observaciones
		h.	m.	s.		A_N	A_E	A_Z		
					μ	μ	μ	Km.		
25 abril (n.º 20)	—	antes de 4 h.			—	—	—	—		Temblor de grado II-III. M. Sentido en Teyá (Barcelona) (Dr. Barrera)
1 mayo (n.º 21)	P	15	45	28	4	—	—	—	4590	
	R ₁ P	15	47	6	4	—	—	—		
	i S	15	51	48	12	30	45	—		
	R ₁ S	15	54	58	13	—	—	—		
	e L	15	57	19	26	—	—	—		
	M _{N1}	16	2	44	24	285	—	—		
	M _{E1}	16	3	48	23	—	290	—		
	M _{N2}	16	8	29	12	80	—	—		
	M _{E2}	16	9	55	11	—	75	—		
F	17	39	—	—	—	—	—			
11 mayo (n.º 22)	e P	19	25	51	—	—	—	—	545	
	e S	19	26	51	4	—	—	—		
	L	19	27	44	9	—	—	—		
	F	19	38	—	—	—	—	—		
18 mayo (n.º 23)	e	6	44	18	5	—	—	—	2600	
	e S	6	48	30	8	—	—	—		
	e L	6	50	22	30	—	—	—		
	M	6	52	50	24	—	—	—		
	F	7	30	—	—	—	—	—		
20 mayo (n.º 24)	e S	5	16	27	—	—	—	—		
	P S?	5	17	38	4	—	—	—		
	M	5	51	22	18	—	—	—		
	F	6	5	—	—	—	—	—		
21 mayo (n.º 25)	e	16	56	18	19	—	—	—		
	e L	17	11	59	15	—	—	—		
	M _N	17	31	41	—	—	—	—		
	M _E	17	36	33	16	—	—	—		
	F	18	15	—	—	—	—	—		
26 mayo (n.º 26)	e	22	52	23	5	—	—	—	8630	
	e S	23	2	15	10	—	45	—		
	PS	23	2	26	8	—	—	—		
	RS	23	4	35	7	—	—	—		
	e L	23	11	39	43	—	—	—		
	M ₁	23	18	29	32	480	440	—		
	M ₂	23	24	2	16	210	300	—		
	M ₃	23	28	12	15	210	—	—		
	F	1	17	—	—	—	—	—		

135



Barcelona (Observatorio Fabra)

Fecha	Fase	Tiempo medio de Greenwich			Periodo	Amplitud			Δ Km.	Observaciones
		h.	m.	s.		μ	μ	μ		
29 mayo (n.º 27)	P	13	28	59	—	—	—	—	36	
	L	13	29	3	—	—	—	—		
	F	13	30	—	—	—	—	—		
30 mayo (n.º 28)	eL	10	24	47	—	—	—	—	5160	
	M	10	35	50	19	—	—	—		
	F	11	10	—	—	—	—	—		
3 junio (n.º 29)	e	20	38	23	4	—	—	—	5160	
	eS	20	45	14	8	—	—	—		
	eL	20	57	6	22	—	—	—		
	M	21	1	23	14	—	—	—		
	F	21	13	—	—	—	—	—		
6 junio (n.º 30)	e	10	58	31	—	—	—	—	4840	
	eS	11	5	5	7	—	—	—		
	eL	11	13	29	14	—	—	—		
	M	11	19	33	11	—	—	—		
	F	11	37	—	—	—	—	—		
8 junio (n.º 31)	iP	21	48	27	—	—	—	—	9	
	L	21	48	28	—	—	—	—		
	F	21	49	—	—	—	—	—		
9 junio (n.º 32)	eP	9	21	33	4	—	—	—	8820	
	eS	9	31	34	7	—	—	—		
	eL	9	54	11	21	—	—	—		
	M	10	8	41	13	—	—	—		
	F	10	27	—	—	—	—	—		
10 junio (n.º 33)	e	23	9	23	—	—	—	—	3010	
	eS	23	14	7	6	—	—	—		
	M	23	26	25	9	—	—	—		
	F	23	42	—	—	—	—	—		
	eS	0	35	44	—	—	—	—		
13 junio (n.º 34)	PS	0	36	2	4	—	—	—	9500	
	L	0	49	32	8	—	—	—		
	M	1	9	32	19	—	—	—		
	F	2	2	—	—	—	—	—		
	e	9	50	7	—	—	—	—		
13 junio (n.º 35)	eL	10	23	36	22	—	—	—	9770	
	M _N	10	33	18	19	—	—	—		
	M _B	10	37	57	19	—	—	—		
	F	11	15	—	—	—	—	—		
	e	23	7	55	5	—	—	—		
	eS	23	19	45	6	—	—	—		
	eL	23	34	7	41	—	—	—		
	M _{E1}	0	23	17	22	—	225	—		
	M _{N1}	0	28	27	21	195	—	—		
M _{N2}	0	32	57	18	215	—	—			
16 junio (n.º 36)	M _{E2}	0	34	4	19	—	100	—	9770	
	F	1	24	—	—	—	—	—		
	e	13	00	54	—	—	—	—		
	R ₁ P	13	4	53	6	—	—	—		
	S	13	11	42	8	30	30	—		
	R ₁ S	13	18	27	12	—	—	—		
	L	13	24	49	33	—	—	—		
	M _{N1}	13	42	27	18	280	—	—		
	M _{E1}	13	42	53	17	—	185	—		
	M _{N2}	13	44	33	16	145	—	—		
27 junio (n.º 37)	M _{E2}	13	48	27	17	—	130	—	9770	
	M _{N2}	13	50	8	15	160	—	—		
	M _{N3}	13	50	8	15	—	—	—		
	F	14	53	—	—	—	—	—		

136

Estación sísmica

del Observatorio Fabra, de la Real Academia de Ciencias y Artes

$\varphi = 41^\circ 25' 6''$ N.

$\lambda = 8^m 29^s, 7 = 2^\circ 8'$ E. Gr

Altitud = 405 m.

Subsuelo: Pizarras paleozoicas.

	V	T_0	$z : l$	$\frac{r}{T_0^2}$	Masa, Kg.
Péndulos Mainka:	K_N	52	9 ^s ,8	3,6	141,2
	K_E	55	10 ^s ,9	4,0	144,1
Microsismógrafo Vicentini:	K_Z	125	0 ^s ,9		

Fecha	Fase	Tiempo medio de Greenwich			Período	Amplitud			Δ	Observaciones
		h	m.	s.		A_N	A_E	A_Z		
					s.	μ	μ	μ	Km.	
5 julio (n.º 38)	eS?	14	42	29	8	—	—	—		
	eL	14	47	38	15	—	—	—		
	M_E	15	11	58	25	—	—	—		
	M_N	15	12	28	20	—	—	—		
	F	16	2	—	—	—	—	—		
7 julio (n.º 39)	e	21	35	55	—	—	—	—	9560	
	eS	21	46	33	7	—	—	—		
	eL	21	52	51	19	—	—	—		
	M_N	22	14	10	22	—	—	—		
	M_E	22	17	13	21	—	160	—		
	F	23	11	—	—	—	—	—		
23 julio (n.º 40)	e	18	49	1	—	—	—	—	2890	
	eS	18	53	36	8	—	—	—		
	eL	18	55	51	24	—	—	—		
	M_{E1}	18	59	43	13	—	70	—		
	M_{N1}	17	59	51	15	85	—	—		
	M_{E2}	19	1	6	10	—	45	—		
	M_{N2}	19	1	52	10	50	—	—		
	F	19	27	—	—	—	—	—		
12 agosto (n.º 41)	—	20 aprox.			—	—	—	—		Tembler de grado II. M. sentido en Campdovanol y Viladonyá.
17 septbre. (n.º 42)	e	19	29	57	—	—	—	—	8630	
	eS	19	39	49	6	—	—	—		
	eL	19	52	34	22	—	—	—		
	M_N	20	5	25	16	—	—	—		
	M_E	20	5	59	15	—	—	—		
	F	20	32	—	—	—	—	—		
18 septbre. (n.º 43)	P	15	11	25	—	—	—	20		L — P = 2 ^s ,3
19 octubre (n.º 44)	e	10	25	34	—	—	—	—	9580	
	eS	10	36	13	5	—	—	—		
	eL	10	49	21	37	—	—	—		
	M_N	11	8	30	18	—	—	—		
	M_E	11	9	43	17	—	—	—		
	F	11	34	—	—	—	—	—		
1 novbre. (n.º 45)	eS	7	4	44	9	—	—	—		
	L	7	6	7	9	—	—	—		
	F	7	14	—	—	—	—	—		

137



Barcelona (Observatorio Fabra)

Fecha	Fase	Tiempo medio de Greenwich			Periodo	Amplitud			Δ	Observaciones
		h.	m.	s.		s.	A _N	A _E		
						μ	μ	μ	Km.	
15 novbre. (n.º 46)	e	19	27	8	—	—	—	—		
	e L	19	46	27	32	—	—	—		
	M _N	19	52	13	22	—	—	—		
	M _E	19	54	8	21	—	—	—		
	F	20	27	—	—	—	—	—		
17 novbre. (n.º 47)	e	5	9	3	—	—	—	—		
	e S	5	22	24	10	—	—	—		
	e L	5	35	00	46	—	—	—		
	M	5	49	00	26	—	—	—		
	F	6	12	—	—	—	—	—		
18 novbre. (n.º 48)	e L	6	13	30	34	—	—	—		
	F	6	23	—	—	—	—	—		
18 novbre. (n.º 49)	P	20	39	46	3	—	—	—	4560	
	i	20	40	8	5	—	35	—		
	R ₁ P	20	41	30	5	—	—	—		
	i S	20	46	4	15	35	120	—		
	R S	20	49	27	15	130	—	—		
	R ₂ S	20	49	33	16	—	175	—		
	e L	20	50	23	33	—	—	—		
	M _{E1}	20	53	15	24	—	250	—		
	M _{N1}	20	54	52	19	425	—	—		
	M _{E2}	20	56	15	18	—	305	—		
	M _{E3}	20	57	57	17	—	280	—		
	M _{N2}	20	58	3	17	230	—	—		
	F	22	7	—	—	—	—	—		
10 dicbre. (n.º 50)		0	8 aprox.		—	—	—	—		Tembor de grado II-III. M. sentido en Teyá (Barcelona) (Dr. Barrera).
13 dicbre. (n.º 51)	e S	4	51	00	5	—	—	—		
	e L	4	51	48	12	—	—	—		
	M	4	53	1	11	35	—	—		
	F	5	4	—	—	—	—	—		
14 dicbre. (n.º 52)	P	19	32	52	—	—	—	—		Sentido de grado III. M. en Teyá (Barcelona).
	F	19	33	—	—	—	—	—		
17 dicbre. (n.º 53)	e P	11	11	29	4	—	—	—	9140	
	S	11	21	47	20	290	355	—		
	L	11	35	2	45	—	—	—		
	M _{E1}	11	36	14	41	—	125	—		
	M _{N1}	11	42	6	28	790	—	—		
	M _{E2}	11	43	36	28	—	495	—		
	M _{N2}	11	52	49	17	555	—	—		
	M _{E3}	11	51	1	16	—	235	—		
	M _{N3}	11	55	32	15	315	—	—		
F	14	9	—	—	—	—	—			
25 dicbre. (n.º 54)	i P	18	53	25	—	—	—	—	38	L — P = 4 ^s ,2